**Zeitschrift:** Bulletin de l'Association suisse des électriciens

Herausgeber: Association suisse des électriciens

**Band:** 36 (1945)

Heft: 9

**Rubrik:** Communications ASE

## Nutzungsbedingungen

Die ETH-Bibliothek ist die Anbieterin der digitalisierten Zeitschriften auf E-Periodica. Sie besitzt keine Urheberrechte an den Zeitschriften und ist nicht verantwortlich für deren Inhalte. Die Rechte liegen in der Regel bei den Herausgebern beziehungsweise den externen Rechteinhabern. Das Veröffentlichen von Bildern in Print- und Online-Publikationen sowie auf Social Media-Kanälen oder Webseiten ist nur mit vorheriger Genehmigung der Rechteinhaber erlaubt. Mehr erfahren

## **Conditions d'utilisation**

L'ETH Library est le fournisseur des revues numérisées. Elle ne détient aucun droit d'auteur sur les revues et n'est pas responsable de leur contenu. En règle générale, les droits sont détenus par les éditeurs ou les détenteurs de droits externes. La reproduction d'images dans des publications imprimées ou en ligne ainsi que sur des canaux de médias sociaux ou des sites web n'est autorisée qu'avec l'accord préalable des détenteurs des droits. En savoir plus

### Terms of use

The ETH Library is the provider of the digitised journals. It does not own any copyrights to the journals and is not responsible for their content. The rights usually lie with the publishers or the external rights holders. Publishing images in print and online publications, as well as on social media channels or websites, is only permitted with the prior consent of the rights holders. Find out more

**Download PDF: 29.11.2025** 

ETH-Bibliothek Zürich, E-Periodica, https://www.e-periodica.ch

die grösser als die Gitterspannung ist, so dass die Entladung einsetzen kann. Die Stossionisation setzt aber nicht augenblicklich ein, sondern der Anodenstrom der gezündeten Entladungsstrecke erreicht erst nach etwa 10-6 s seinen vollen Wert. Nach dem Einsetzen der Entladung fliessen aber Elektronen über das positive Mutatorgitter ab, das sich wie eine Anode verhält, und vermindern durch den Spannungsabfall an den Widerständen  $R_1$  und  $R_s$ (Fig. 4) das positive Potential des Gitters  $\hat{G}_M$ . Dieses fällt dadurch nahezu auf das Potential  $U_1$  der Mutatorkathode (B-C in Fig. 6). Bei weiterem Sinken der Gitterspannung fliesst aber ein Strom in umgekehrter Richtung über das Gitter  $G_M$ , also ein Ionenstrom, so dass dieses während der Brenndauer der Anode wenig unter das Kathodenpotential des Mutators sinkt (Strecke C-D). Während dieser Zeit kann sich der Kondensator  $C_E$  aufladen. Da die Zeitkonstante des Gliedes  $(R_1 + R_2) \cdot C_E$  bedeutend kleiner ist als die Brenndauer der Anode, so stellt sich an  $C_E$  fast der stationäre Zustand ein, d. h. der anodenseitige Belag des Kondensators liegt auf dem Potential der Gleichspannungsquelle  $U_2$ , der gitterseitige ungefähr auf dem Kathodenpotential des Mutators. Im Moment nach der Kommutation (Anode des Mutators negativ) werden keine neuen Ionen mehr durch Stossionisation gebildet. Die noch vorhandenen Ionen rekombinieren oder wandern über das Gitter  $G_M$  und die Anode  $A_M$  ab. Die Zahl der über das Gitter  $G_M$  abfliessenden Ionen sinkt sehr rasch, so dass sie nur noch sehr kurze Zeit einen Spannungsabfall an  $R_1 + R_s$  erzeugen können (D-E in Fig. 6). Nachher macht das Gitter  $G_M$  einen Potentialsprung von E nach F, denn der Kondensator  $C_E$ , der während der Brenndauer der Anode nur auf die Spannung

$$u_{CE} = U_2 - U_1$$

geladen war, lädt sich nun über die Widerstände  $R_1$ 

und  $R_2$  weiter auf, bis er die Spannung  $U_2$  erreicht hat. Die Spannungsdifferenz  $U_2 - u_{CE}$  verteilt sich dabei auf die beiden Widerstände  $R_1$  und  $R_2$  im Verhältnis ihrer Grössen. Dieser Potentialsprung ist für die Entionisierung sehr günstig, denn die Entionisierungszeit sinkt mit wachsender negativer Steuergitterspannung  $^2$ ).

Ein Unterschied der Steuerspannungskurven bei stark und schwach belastetem Mutator, der eventuell durch die verschiedenen Entionisierungsbedingungen hätte erwartet werden können, konnte im Oszillogramm nicht festgestellt werden.

#### 4. Zusammenfassung

Das beschriebene Steuergerät eignet sich wegen seines ausserordentlich kleinen Leistungsbedarfes speziell auch zum Betrieb von Mutatoren kleiner Leistung. Die Steuerleistung zum Aussteuern der Elektronenröhren ist praktisch null. Die Heizleistung und die Leistung der Gleichspannungsquelle für die Röhren betragen nur etwa 80 Watt.

Aus der Beschreibung geht hervor, dass ein Gerät von entsprechendem Aufbau für einen Mutator von beliebiger Phasenzahl und Frequenz verwendet werden kann.

Dieses Steuergerät ist äusserst betriebssicher, weil keine umlaufenden Teile verwendet werden. Seine Herstellung kommt im Vergleich mit andern Geräten bedeutend billiger.

Diese Steuerapparatur wurde im Laboratorium des Elektrotechnischen Institutes der ETH bei der Untersuchung eines selbstgeführten sechsphasigen Wechselrichters, was Gegenstand einer Diplomarbeit war, verwendet und zeigte während der ganzen Betriebsdauer nicht eine einzige Störung.

Adresse des Autors:

Dr. Alfred Spälti, dipl. Ing., Eugen-Huber-Strasse 22, Zürich 9.

2) W. Ostendorf, Entionisierungszeiten von Stromrichtern, ETZ 1938, S. 87.

## Technische Mitteilungen — Communications de nature technique

## Ausnutzung der Sonnenenergie

(Nach A. Piccard, Bull. Technique des Ateliers de constructions mécaniques de Vevey S. A., 1942, Nr. 2.)

621.472 Die Sonne, ohne die auf der Erde kein organisches Leben möglich ist, liefert auch die Energie für den Antrieb unserer Kraftmaschinen, ohne dass wir uns dessen in jedem Falle voll bewusst sind. Die Dieselmotoren z.B. nützen bei der Verbrennung von Oel Energie aus, welche vor vielen Mil-lionen von Jahren von der Sonne auf die Erde strömte und dort die Existenz der Lebewesen ermöglichte, deren Ansammlung und Umwandlung dann zur Bildung der heute ausgebeuteten Erdölvorkommen führte. In gleicher Weise ist die in den Dampfkesseln verfeuerte Kohle oder das in den Generatoren der Autos vergaste Holz nichts anderes als Sonnenenergie, welche durch das Chlorophyll der Pflanze in chemische Energie umgewandelt worden ist. Die Hydroelektrizitätswerke werden von Wasser angetrieben, welches, durch die Sonne verdunstet, in die Höhe gestiegen ist und nun beim Abfliessen in tiefere Lagen nutzbare Arbeit in den Turbinen leistet. Es soll nun an Hand einiger Beispiele der Wirkungsgrad dieser Energieumwandlungen untersucht und geprüft werden, ob weitere Möglichkeiten für die Ausnutzung von Sonnenenergie bestehen.

## 1. Wirkungsgrad der Umwandlung von Sonnenenergie

Die Sonne sendet beständig in Form von Strahlung eine Dauerleistung von 37·10<sup>22</sup> kW aus. Ueber die Entstehung dieser von der Sonne dauernd abgegebenen Strahlungsenergie sind schon die verschiedensten Theorien aufgestellt worden. Ohne näher auf diese Theorien einzugehen, sei nur erwähnt, dass nach der Theorie von Einstein bei der Annahme, dass die ausgestrahlte Sonnenenergie aus Masse entstehe, die Sonne pro Sekunde einen Gewichtsverlust von 4 Millionen Tonnen erleiden muss. Auf die Erde kommen vom ganzen von der Sonne ausgestrahlten Energiefluss nur 1,7·10<sup>14</sup> kW, das sind etwa 2,2 Milliardstel. Setzen wir die Jahreserzeugung aller schweizerischen Elektrizitätswerke mit 8,5·10° kWh ein, so sehen wir, dass die Sonne in einer Stunde gleichviel Energie auf die Erde schickt wie alle schweizerischen Kraftwerke zusammen in 1,7·10<sup>14</sup> : 8,5·10<sup>9</sup> = 2·10<sup>4</sup> Jahren, also in 20 000 Jahren erzeugen. Pro Quadratmeter der Erdoberfläche, welche senkrecht von der Sonne bestrahlt wird, trifft es eine Leistung von 1,35 kW, was bei 220 V in einer Hausinstallation gerade einem normalen Stromkreis für Lichtzwecke mit 6 A Absicherung entspricht und für den gleichzeitigen Betrieb eines Strahlers von 750 W, eines Bügeleisens von 400 W, die Beleuchtung von 2 Zimmern mit je 75 W und den Betrieb eines Radioapparates von 50 W ausreicht. Es stellt sich

nun für den Ingenieur sofort die Frage, mit welchem Wirkungsgrad diese Energiequelle ausgenutzt wird. Zuerst ist zu erwähnen, dass zufolge der Kugelgestalt der Erde die Dichte des Energieflusses im Mittel etwa viermal kleiner ist und dass ferner durch die Absorption in der Atmosphäre im Hochgebirge 25 bis 50 % und auf Meeresniveau 40 bis 70 % verloren gehen. Unter Berücksichtigung des verschiedenen Wetters, der wechselnden Tagesstunden und Jahreszeiten kann man rechnen, dass eine horizontale Fläche von 1 m² auf Meereshöhe in mittlerer geographischer Breite einen Energiefluss in der Grössenordnung von rund 60 W direkter Strahlung erhält. Dazu kommt noch die diffuse Strahlung, welche auch bei bedecktem Himmel vorhanden ist, so dass wir unseren weiteren Ueberlegungen einen runden Durchschnittswert von 100 W/m² oder 24 cal s-1 m-2 zugrunde legen.

Der Wirkungsgrad der Ausnutzung der Sonnenenergie durch das Blattgrün der Pflanze lässt sich nun folgendermassen bestimmen: Ein Quadratmeter Waldoberfläche erzeugt in der Schweiz im Mittel pro Jahr rund 0,35 dm³ Holz mit einem Heizwert von 600 kcal. Ein Quadratmeter Waldfläche erhält aber in den 31,6·10<sup>6</sup> Sekunden des Jahres eine Sonnenenergiemenge von 31,6·10<sup>6</sup> s·24 cal·s<sup>-1</sup> = 7,6·10<sup>3</sup> cal. Vergleicht man diese Zahl mit den 6·10<sup>5</sup> cal, welche wir in Form von Holz erhalten, so gibt das einen Wirkungsgrad von 1 Promille.

Da z. B. der Turbinenbauer mit seinen Maschinen einen Wirkungsgrad von 90 % erreicht, lächelt er über diese kleine Zahl von 1 %. Rechnen wir bei der Wasserturbine den Wirkungsgrad in bezug auf die ausgenutzte Sonnenenergie aus, so ergibt sich ein anderes Bild. Eine Turbine arbeite mit einem Gefälle von 400 m. Bei einer Niederschlagshöhe von 1 m pro Jahr ergibt sich eine Wassermenge von 1000 kg pro m² Oberfläche des Einzugsgebietes und eine Energiemenge von 1000 kg 400 m = 400 000 mkg brutto (= 4·10<sup>6</sup> Joule) oder an der Turbinenwelle mit 90 % Wirkungsgrad  $3600 \cdot 10^3$  Joule = 1 kWh = 860 kcal = 8,6 · 10<sup>5</sup> cal. Ein Quadratmeter des Einzugsgebietes erhielt aber an Sonnenenergie, wie bereits berechnet wurde, 7,6 10° cal, so dass der Wirkungsgrad der Wasserturbine, bezogen auf die zugestrahlte Sonnenenergie, wiederum nur etwa 1 Promille beträgt. Dabei hat aber immerhin die Erzeugung elektrischer Energie den Vorteil, dass die erzeugte Energie ohne wesentliche Verluste direkt in mechanische Energie umgewandelt werden kann, während bei der Ausnutzung des Holzes vorerst noch eine beträchtliche Arbeit für die Aufbereitung und den Abtransport nötig ist und dazu bei der Umwandlung der Wärmeenergie des Holzes in mechanische Energie nochmals mindestens ¾ verloren gehen. Diese wenigen Zahlen zeigen, dass die Bestrebungen für eine bessere Ausnutzung der Sonnenenergie von grossem Interesse sind und dass bei den kleinen bis jetzt erreichten Wirkungsgraden noch Verbesserungen möglich sein sollten.

Es sollen nun einige Wege untersucht werden, welche bei einer ersten Betrachtung eine Verbesserung der Ausnutzung der Sonnenenergie als nicht ausgeschlossen erwarten lassen. Es werden folgende Fälle betrachtet: Wärme von niedriger Temperatur, Wärme von hoher Temperatur und Umwandlung der Sonnenenergie in eine andere Form als Wärme.

#### 2. Wärme von tiefer Temperatur

Die beste Ausnutzung der Sonnenenergie ist zweifellos bei der Gewinnung von Wärme von tiefer Temperatur zu erwarten. Eine schwarze der Sonne ausgesetzte Fläche erwärmt sich um 20...30°C gegenüber der Umgebungstemperatur. Diese Temperaturerhöhung dürfte industriell kaum verwertbar sein, kann aber für die Heizung von Gebäuden verwendet werden, besonders wenn ein Heizsystem, zum Beispiel die Sulzer-Strahlungsheizung, vorhanden ist, welches mit einer Vorlauftemperatur des Heizwassers von 30...40° C auskommt, statt 60...80° C bei gewöhnlicher Radiatorenheizung. Man denke sich ein System von geschwärzten, mit Wasser gefüllten Röhren, welches mit einem höher gelegenen, gegen Wärmeverluste gut isolierten Reservoir von rund 3000 m<sup>3</sup> Inhalt in Verbindung stehe. Bei Sonnenschein erwärmt sich das Wasser im Rohrsystem, steigt zufolge Thermozirkulation in das höher gelegene Reservoir, während das kalte Wasser nach unten sinkt und ebenfalls erwärmt wird, so dass nach und nach

der ganze Reservoirinhalt erwärmt wird. Liegt das Reservoir tiefer als das Rohrsystem, so muss die Zirkulation durch eine Umwälzpumpe erzwungen werden und das Rohrsystem kann in diesem Falle auf dem Dache des Gebäudes montiert werden. Nach durchgeführten Berechnungen könnte mit einer solchen Einrichtung mit einer Rohroberfläche von ca 200 m<sup>2</sup> in einer nicht zu rauhen Gegend mit genügend Sonnenschein (z. B. Genfersee) ein gegen Wärmeverluste gut geschütztes Wohngebäude mit der im Sommer aufgespeicherten Wärme während des Winters geheizt werden. Die Kosten für eine solche Heizeinrichtung ohne Brennstoffverbrauch dürften leider besonders wegen des Reservoirs von 3000 m³ Inhalt (z. B. 24·25 m Grundfläche und 5 m Tiefe) samt zugehöriger Wärmeisolation vorläufig aus wirtschaftlichen Gründen die Ausführung solcher technisch möglichen «Sonnenheizungen» verhindern.

#### 3. Wärme mit hoher Temperatur

Soll ein Körper durch Sonnenstrahlung auf hohe Temperatur gebracht werden, so muss die zugeführte Energie konzentriert werden, damit die Verluste des bestrahlten Körpers im Verhältnis zur zugestrahlten Energie klein bleiben. Die Konzentration der Sonnenstrahlung mit optischen Systemen (Hohlspiegel oder Linsen) ist also nötig und technisch möglich, aber eine solche Anlage hat kaum Aussicht auf industrielle Verwirklichung.

#### 4. Umwandlung der Sonnenenergie in eine andere Energieform als Wärme

Das grosse Problem wird stets die Umwandlung der Sonnenstrahlung in die von der Industrie am meisten benötigte mechanische und elektrische Energie bleiben. Die einfachste Lösung scheint auf den ersten Blick eine Wärmekraftmaschine zu sein, welche mit einem Temperaturgefälle von nur 30° C arbeitet. Nach dem zweiten thermo-dynamischen Hauptsatz ist aber der Wirkungsgrad einer solchen Maschine theoretisch auf etwa 10 % begrenzt. Da aber die wirklichen Maschinen nur einen Teil dieses theoretisch möglichen Wirkungsgrades erreichen, so würde eine solche Maschine, welche durch einfache Bestrahlung durch die Sonne angetrieben würde, nur etwa ein Zwanzigstel der eingestrahlten Sonnenenergie in mechanische Arbeit umsetzen, d. h. pro Quadratmeter bestrahlter Fläche würde sie nur eine Leistung von etwa 3 W abgeben. Durch Verwendung von optischen Systemen kann die Temperatur so gesteigert werden, dass theoretisch bezogen auf 24 h pro Tag eine Leistung von höchstens 15 W/m² bestrahlter Fläche erzeugt werden könnte, so dass eine Jahresarbeit von einigen 100 kWh/m² entstünde, also ein Vielfaches des im früheren Beispiel der Wasserturbine errechneten Wertes von 1 kWh pro Jahr und m2 bestrahlter Fläche 1).

Falls es gelingen würde, die Strahlungsenergie der Sonne direkt ohne den Umweg über die Wärme in elektrische Energie zu verwandeln, so wäre der zweite Hauptsatz kein Hindernis mehr für die Erzielung eines besseren Wirkungsgrades. Die Oberfläche der Sonne ist (absolut) etwa 20mal heisser als die Erdoberfläche, so dass theoretisch ein Wirkungsgrad bis zu 95 % möglich wäre.

Die Sperrschichtphotozelle, die z.B. in den Belichtungsmessern für photographische Zwecke verwendet wird, wandelt das Sonnenlicht direkt in elektrische Energie um, und eine Fläche von 1...2 cm² liefert genügend Energie für das Bewegen des Zeigers eines kleinen Amperemeters. Mit einer Sperrschichtzelle von 1 km² Oberfläche liesse sich eine Leistung von 5000 kW direkt aus Sonnenstrahlung erzeugen. Neben der Schwierigkeit, eine solche Photozelle zu bauen, besteht die Hauptschwierigkeit eines solchen Projektes darin, einen Akkumulator zu finden, welcher die ungleichmässige Energieerzeugung des «Photozellenkraftwerks» während Schlechtwetterperioden und in der Nacht ausgleicht.

Photochemische Reaktionen, die z.B. im Blattgrün der Pflanze stattfinden, geben die Möglichkeit, Sonnenstrahlung

<sup>1)</sup> Anmerkung des Referenten: Nach meiner Orientierung wurde seinerzeit an der afrikanischen Mittelmeerküste ein «Sonnenkraftwerk» als Versuchsanlage gebaut. In Röhren, welche sich im Brennpunkt von Hohlspiegeln befanden, wurde durch die Sonnenstrahlung Dampf erzeugt und damit eine Dampfkraftmaschine angetrieben. Es scheint, dass diese Versuche zu keinem bleibenden technischen und wirtschaftlichen Erfolg geführt haben.

direkt in potentielle chemische Energie zu verwandeln. Es ist den Menschen aber bisher nicht gelungen, die Vorgänge in der lebenden Pflanze mit technischen Einrichtungen nachzuahmen.

Zum Schluss sei noch auf das Projekt und die Versuche von G. Claude hingewiesen. Claude wollte das Temperaturgefälle zwischen dem in tropischen Gegenden an der Oberfläche mindestens 25°C warmen und dem in Tiefen von 2000 m nur 5...6° C warmen Meerwasser ausnützen, indem er mit der Druckdifferenz des gesättigten Wasserdampfes der beiden Temperaturen von 25 und 5°C eine Turbine antrieb. Eine Versuchsanlage in Havanna erzeugte einige Kilowatt, nachdem zahlreiche konstruktive Schwierigkeiten überwunden waren. Eine Anlage nach Claude ist nur als Grossanlage möglich, weil dann das Rohr für das Heraufpumpen des kalten Wassers aus grosser Meerestiefe einen so grossen Durchmesser erhält, dass die Reibung an der Rohrwand im Verhältnis zur durchgepumpten Wassermenge unbedeutend wird, während bei der kleinen Veuschsanlage das Saugrohr so eng war, dass für das Heraufpumpen des Wassers mehr Energie aufgewendet werden musste, als die Turbine abgeben konnte. Eine zweite schwimmende Versuchsanlage in der Nähe von Rio de Janeiro hatte wegen unüberwindlicher Schwierigkeiten beim Absenken des Saugrohres keinen Erfolg. Grundsätzlich ist aber die Idee von Claude realisierbar.

## La télétransmission des phases et l'exploitation du réseau d'interconnexion français

[D'après P. Ailleret, A. Chevallier, P. Henriet et R. Rougé, Bull. Soc. franç. Electr. 1942, No. 20, p. 373...386]

621.311.161(44)

Tributaire de l'étranger pour ses approvisionnements en charbon, la France attache une très grande importance à l'utilisation optimum de ses ressources hydrauliques. Comme, d'autre part, la géographie du pays veut que cette politique soit étroitement liée avec la stabilité des transports d'énergie électrique, c'est-à-dire le maintien du synchronisme entre les groupes hydrauliques et les groupes thermiques, on conçoit l'intérêt que revêt pour les exploitants la connaissance exacte, permanente et instantanée de la situation dans laquelle ils se trouvent au regard du risque de perte de synchronisme. Ce risque d'instabilité dépendant essentiellement de l'allure des variations de l'angle qui caractérise le mouvement relatif des machines synchrones, le problème consiste à pouvoir mesurer à n'importe quel point de l'interconnexion l'angle de phase de ce dernier par rapport à une référence commune.

La méthode de recherche par le calcul s'étant avérée compliquée et surtout insuffisante, il est apparu que seule la télétransmission, permettant d'enregistrer les écarts angulaires entre les rotors respectifs en fonction du temps, était susceptible de fournir les renseignements désirés. Comme il s'agit de comparer à l'instant t deux termes électriques semblables — en l'occurence les phases —, le terme reçu en un point sera décalé par rapport à l'autre du temps de transmission qui fait intervenir un angle non négligeable.

Pour être efficace, la télétransmission des phases doit donc satisfaire aux quatre conditions essentielles suivantes:

Etre accessible à n'importe quel point de l'interconnexion. N'introduire aucun retard.

Etre continue.

Permettre la compensation de toute variation de l'angle provoquée par les selfinductions, capacités et résistances constituées par l'émetteur, le récepteur et le canal de transmission.

Le type de transmission envisagé, tendant à utiliser des ondes porteuses déjà existantes, est celui qui consiste à transmettre un vecteur tension par modulation, soit à modulation directe de l'onde porteuse haute fréquence par la tension à 50 Hz, soit à modulation de l'onde porteuse par une onde à fréquence musicale elle-même modulée par la tension à 50 Hz.

La transmission sur les liaisons téléphoniques est en principe à écarter, car elle ne permet pas la transmission continue en raison de nombreuses installations à principe d'appel existantes. L'utilisation d'un second canal pour la transmis-

sion de l'angle nécessite des filtres à bande étroite qui présentent des constantes de temps non négligeables. Enfin, les taux de modulation donnés par l'appel et par la parole, essentiellement variables avec les individus, risqueraient de déformer sensiblement l'onde transmise.

Les dispositifs de télémesure tout en se prêtant mieux à une telle transmission présentent l'inconvénient, d'ailleurs commun aux liaisons de téléphonie, de ne pas aboutir nécessairement aux points qui désirent connaître leur angle de phase. De plus, les nombreuses retransmissions mettent en jeu un grand nombre d'émetteurs, de récepteurs et d'amplificateurs qui introduisent tous des constantes de temps devant être compensées. Aussi, envisage-t-on l'utilisation d'une onde à haute fréquence spécialisée, réservée uniquement pour la télétransmission des phases.

La nécessité de satisfaire aux conditions mentionnées plus haut et d'assurer la transmission avec le minimum d'affaiblissement, dû aux impédances de la ligne, conduit à adopter une fréquence de l'ordre de 20 kHz. Comme référence commune, il a été proposé la phase de la tension de 220 kV de la ceinture de Paris qui représente, en quelque sorte, le centre de gravité du réseau et, de ce fait, n'est pas trop influencée par des phénomènes purement locaux. Pour l'émission, il est proposé de faire usage d'une seule onde porteuse, à partir par exemple de Chevilly vers le sud et vers l'est. La transmission est prévue sans circuits bouchons sur le réseau du Massif Central. L'émetteur est directement modulé par l'onde à 50 Hz de la région parisienne. La puissance est de 25 W avec une modulation de 80 %. Les récepteurs ont une sensibilité de fonctionnement inférieure à 1 mW et sont pourvus d'organes de régulation à haute et basse fréquence nécessaires, de façon à obtenir une tension à 50 Hz constante à la sortie du récepteur. Des déphaseurs permettent de compenser les angles introduits par les éléments d'amplification et par la ligne.

Il ne reste plus qu'à traduire sur des cadrans l'écart auxiliaire de phase ainsi obtenu, ce qui peut se faire par un alternateur auxiliaire ou par un moteur synchrone. Pour suivre à vue l'évolution des angles de phase, on peut avoir recours aux procédés stroboscopiques ou aux divers montages utilisant l'oscillographe cathodique. De tels procédés, très précieux en régime troublé, donnent cependant souvent des mesures grossières en régime stable. Pour des régimes stables, le meilleur procédé est l'emploi classique d'un électro-dynamomètre confrontant la tension de la machine sur les enroulements fixes et celle d'un alternateur auxiliaire sur l'équipage mobile.

Les avantages fournis par la télétransmission des phases sont très nombreux, parmi lesquels les principaux sont:

Possibilité de reconnaître la véritable perte de synchronisme d'un simple balancement relatif des rotors, sans qu'aucun pôle ait été sauté.

Utilisation permanente des indications de phases donnant au dispatcher la faculté de situer exactement la marge de sécurité du réseau du point de vue stabilité. Par exemple: recherche de l'influence d'un court-circuit de nature et de durée déterminées.

Reprise de service plus rapide après une rupture de l'interconnexion par une égalisation rapide des fréquences, quitte à abaisser temporairement cette dernière au-dessous de 50 Hz, afin de permettre les couplages nécessaires.

Utilisation de l'angle de phase caractérisant le coefficient de sécurité pour la régulation directe. Par exemple, en cas de disponibilités hydrauliques surabondantes, la possibilité de régler non plus à puissance constante, mais à angle de phase constant entre les groupes thermiques et hydrauliques, dont le risque de décrochage détermine la limitation du transport.

Dans le cas où l'angle tend à dépasser la valeur limite, possibilité d'une action directe sur les excitations des machines pour le maintien de la stabilité.

Quoique résolu en principe, le problème de la réalisation pratique de la télétransmission des phases présente encore un certain nombre d'inconnues que seule l'expérience permettra d'apprécier. Ces expériences sont en cours. E. S.

## Erhitzung der Antenne zur Beseitigung des Eisansatzes

[Nach ETZ Bd. 64 (1943), Nr. 9/10, S. 129 (Auszug aus: G. W. Schuleikin, Elektroswias 1941, Nr. 2, S. 38)]

Starker Reif- und Eisansatz an Antennen beeinträchtigt deren Wirksamkeit 1) und kann bei grossen Spannweiten ihren Bruch herbeiführen. Die in solchen Fällen nötige Beseitigung des Ansatzes erfolgt am besten durch elektrische Erwärmung der Antenne. Dabei muss ihre Temperatur auf das für die Wahrung der Festigkeitseigenschaften des Antennenmaterials zulässige Mass beschränkt werden. Für Leitungsbronze mit 75 kg/mm² Zerreissfestigkeit gilt z. B. 80° als obere Grenze.

Unter der Annahme, es genüge für das Abfallen des Ansatzes, dessen unmittelbar über dem Antennen-Draht oder -Seil befindlichen Teil mit 25 % Zuschlag zum Schmelzen zu brin-

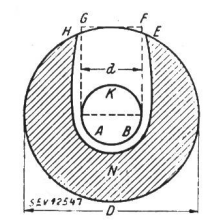


Fig. 1 Antennenseil mit Eisansatz

gen (HNE in Fig. 1), ist die zum Tauen dieses Teils nötige Wärmemenge für 1 cm Antennenlänge

$$Q = 0.62 \, Dd\gamma c \tag{1}$$

Q in cal, D und d in cm,  $\gamma$  das spezifische Gewicht des Ansatzes, angenommen zu 0,9 g/cm³, und c dessen Schmelzwärme = 80 cal/cm³.

In Joule ausgedrückt ist

$$Q = \frac{45}{0.24} \ D \cdot d = 187,5 \ Dd$$
 pro cm Antennenlänge (2)

Bei Erwärmung mit Gleichstrom ist die Heizleistung

$$P = I^2 R_{i9} t$$
 Joule

wo I die Stromstärke in A,  $R_{\vartheta}$  der Widerstand der Antenne in  $\Omega$  bei  $\vartheta^{o}$  und t die Heizzeit in s. Die Grösse  $R_{\vartheta}$  errechnet sich bekanntlich zu

$$R_{\vartheta} = \frac{\varrho_0 \cdot l \, (1 + \alpha \, \vartheta^0)}{4} \tag{4}$$

wo  $\varrho_0$  Widerstand des Antennenmaterials in  $\Omega$  cm/cm²; l Länge der Antenne mit Ansatz; A Antennenquerschnitt in cm²;  $\alpha$  Widerstandstemperaturkoeffizient. Wird die Temperatur der Antenne  $\vartheta$  zu  $0^\circ$  (schmelzendes Eis) angenommen, wird z. B. für Bronzedraht mit

$$\varrho =$$
 3,7 · 10-6  $\varOmega$  cm/cm²,  $l=$  1 cm und  $a=$  0,00152

$$P = 3.7 \cdot 10^{-6} \cdot \frac{1 \cdot (1 + 0.00152)}{2.34 \cdot 1} I^2 t \tag{3}$$

Rechnet man mit 20 % Wärmeverlust durch die während der Heizung an die Luft erfolgte Abstrahlung, so wird für den in Betracht gezogenen Bronzedraht aus (2) und (3)

$$I^2t = 60.8 \cdot 10^6 \cdot D \cdot d \cdot A \tag{5}$$

Aus (5) kann die nötige Stromstärke bei angenommener Heizzeit oder diese bei gegebener Stromstärke berechnet

Für die Temperatur belagfreier Teile der geheizten Antenne (z. B. bei teilweisem Abfall des Ansatzes) ist die an die Luft abgegebene Konvektionswärme massgebend, die berechnet werden kann zu

$$Q_1 = 0,0057 \frac{\sqrt{p \cdot v \cdot \mathbf{S} \left(\vartheta_2 - \vartheta_1\right)}}{T^{0,123} \cdot \sqrt{d}} \cdot t$$

p Luftdruck in Atmosphären (prakt. = 1); v Luftgeschwindigkeit in m/s; d Leiterdurchmesser in cm; S Antennenober-

fläche in cm² (für Seile 1,1  $d \cdot \pi/\text{cm}$ ); T mittlere Temperatur der Antenne und der umgebenden Luft im absoluten Mass;  $T^{0.123} = 2$  gesetzt;  $\vartheta_2$  Temperatur der Antenne in °;  $\vartheta_1$  Lufttemperatur, zwischen 0° und  $-5^\circ = 0^\circ$  angenommen. Damit wird (für Bronze)

$$Q_1 = 0.0076 \cdot \sqrt{d} \,\vartheta_2 \,t \tag{6}$$

Aus (3) und (6) ergibt sich

$$I^{2}R\vartheta \cdot t = \frac{\varrho_{0}(1+\alpha\vartheta)}{A} \cdot I^{2}t = 3,7 \cdot 10^{-6}(1+0,00152\vartheta_{2}) \cdot \frac{I^{2} \cdot t}{A} = 0,0076 \cdot \sqrt{d} \cdot \vartheta_{2} \cdot t$$

gekürzt ergibt dies

4,87·10-4 (1 + 0,00152 
$$t_2^0$$
)· $\frac{I^2}{A} = \sqrt{d} \cdot \vartheta_2$  (7)

woraus die resultierende Uebertemperatur:

$$\vartheta_2 = \frac{4,87 \cdot \frac{I^2}{A}}{10^4 \sqrt{d} - 0,0074 \frac{I^2}{A}} \approx \frac{4,87 I^2}{10^4 \cdot \sqrt{d} \cdot A}$$
 (8)

oder

$$I = 45 \sqrt{\frac{\sqrt{\overline{d}} \vartheta_2 A}{1 + 0,00152 \cdot \vartheta_2}} \tag{9}$$

Ueberschreitet  $\vartheta_2$  den obern Grenzwert von 80° (für Leitungsbronze), so muss I herabgesetzt werden, wodurch die Zeit der nötigen Heizung anwächst.

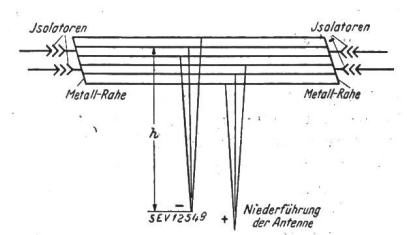


Fig. 2

Antenne mit Niederführungen

Als Rechnungsbeispiel dient eine Antenne nach Fig. 2. Die stromführende Länge der 6 in 150 m Höhe gespannten Bronzedrähte von 4,6 mm Durchmesser mit je 3 gleichen

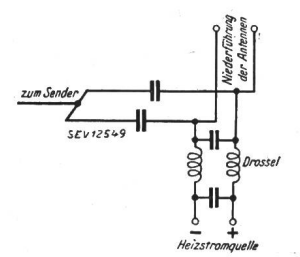


Fig. 3

Antennenheizung

Zu- und Rückleitungen beträgt 200 m. Die für die Erwärmung auf 80° nötige gesamte Stromstärke nach Formel (9) 300 A (6 A/mm² in den Zuleitungsdrähten), die Heizzeit nach

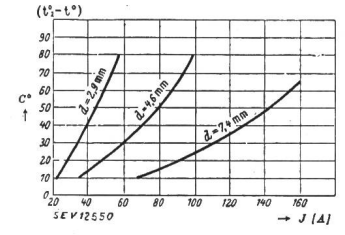


Fig. 4 Erwärmung in Abhängigkeit von der Stromstärke

(8) 1300 s  $\approx$  22 min und die entsprechende Leistung 45 kW. Mit der dreifachen Heizzeit wären 15 kW erforderlich.

Fig. 3 zeigt, wie die Antenne während des Sendebetriebes geheizt werden kann. Es kann dies in einem Temperaturbereich von  $+2^{\circ}...+7^{\circ}$  zweckmässig vorbeugend erfolgen, wenn die Gefahr von Rauhreif oder Eisregen besteht. Die in

<sup>1)</sup> Siehe z. B. Brown Boveri Mitt. Bd. 31 (1944), Nr. 11, S. 329.

diesem Fall nötigen Stromstärken und Heizzeiten können wie hievor angegeben berechnet werden; dabei genügt eine Antennentemperatur von 20°...25°.

Fig. 4 zeigt den Zusammenhang zwischen Erwärmung der Antennendrähte und der Stromstärke für verschiedene Drahtdurchmesser. S.

## Dielektrische Verluste von Lackdrähten

[Nach K. Potthof und R. Müller, ETZ, Bd. 64 (1943), Nr. 37/38, S. 503.]

621.315.337.4

Für die Ueberwachung der Eigenschaften der Lackierung von Lackdrähten ist wie für die Prüfung anderer organischer Isolierstoffe die Messung der dielektrischen Verluste geeignet. Das Verfahren ist besonders aufschlussreich, wenn die Messungen in Abhängigkeit mehrerer Veränderlichen, z. B. Spannung, Frequenz, Temperatur, Alterung, Feuchtigkeit usw. durchgeführt werden.

Die Proben bestehen aus geradegebogenen Drahtstücken von 13 cm Länge. Diese werden an einem Ende abisoliert und mit einem Lappen abgerieben, der mit einer fünfprozentigen Nekallösung leicht angefeuchtet ist. Sie lassen sich dann

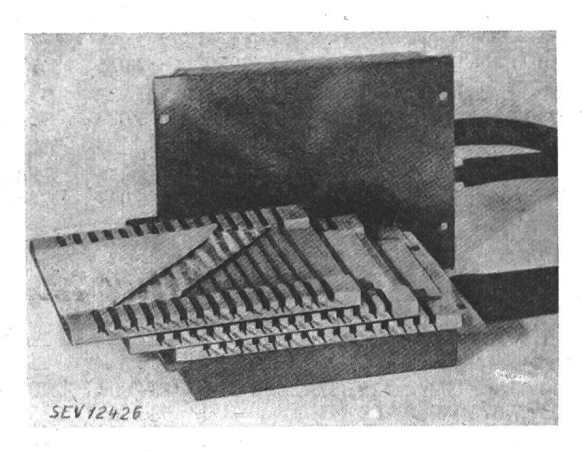


Fig. 1.
Probenhalterung zum Messen von 45 Proben bei Temperaturen zwischen 20 und 80°

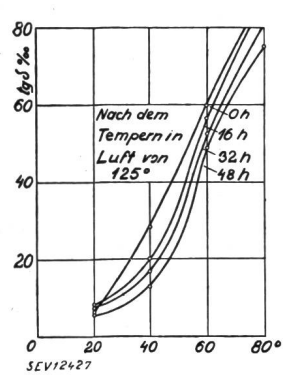


Fig. 2. Dielektrische Verluste eines Oellackdrahtes nach dem Tempern in Luft von 125°

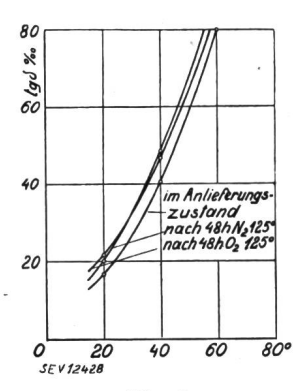


Fig. 3.
Dielektrische Verluste eines stabilen Kunstharzlackdrahtes nach dem Tempern in Sauerstoff und Stickstoff von 125°

Für die Bestimmung der Kapazität und des Verlustfaktors wird eine Scheringbrücke mit Wagnerschem Hilfszweig verwendet. Die Messfrequenz beträgt 800 Hz. Als Nullinstrument dient ein auf Erdpotential gehaltener Kopfhörer

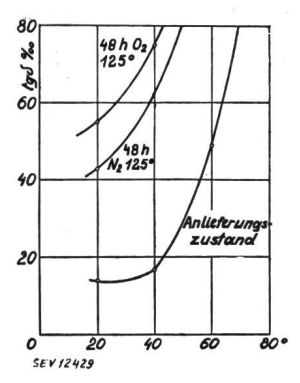
Es zeigt sich, dass die im Abstand von mehreren Metern der gleichen Drahtrolle entnommenen Proben sehr gleichmässig ausfallen, so dass die Probenzahl auf 3 herabgesetzt werden kann. Die Abweichungen der 3 tg  $\delta$  — Messungen betragen in 57 % der Fälle 0...2 % und in 97 % der Fälle 0...10 %. Die geeignete Gestaltung der Proben sowie die genaue Kennzeichnung der Prüfverhältnisse gestatten ausserdem eine gute Reproduzierbarkeit der Messungen und somit die Gewinnung wertvoller Ergebnisse.

Der Verlauf des  $\operatorname{tg} \delta$  als Funktion der Temperatur ist für verschiedene Drahtlackierungen grundsätzlich verschieden, wodurch Lacke des gleichen Lieferers sich jederzeit identifizieren lassen. Um die Temperatur während der Messung konstant zu halten und ausserdem rasch regulieren zu können, wurden Probenträger nach Fig. 1 aus Aluminium verwendet. Jede Platte fasst 15 Proben, deren Enden auf kurze Strecke von den Trägern isoliert sind. Der Wärmekontakt und der elektrische Kontakt ist durch Metallfolien erreicht, die mit einem Filzbelag gegen den Graphitbelag angepresst sind. Durch einen Thermostaten, der sein Wasser den äussern Platten zuführt, kann die Temperatur rasch und genau reguliert werden. Bei Alterungsversuchen wurden die Proben erst nach der Wärmebehandlung in Luft, Sauerstoff oder Stickstoff graphitiert, dann getrocknet und 24 Stunden in 50 % relativer Feuchtigkeit ausgesetzt. Fig. 2, 3 und 4 zeigen Ergebnisse für drei typisch verschiedene Lackdrähte

Die Temperatur-Charakteristik ist durch die Höhe der Meßspannung nicht beeinflusst, dagegen ist ihr Verlauf von der Frequenz abhängig. Bei Kunstharzlacken, die polare Gruppen enthalten, kann z. B. deutlich eine Verschiebung des tg  $\delta$ -Maximums gegen tiefere Temperaturen bei höher werdenden Frequenzen festgestellt werden.

Für die Untersuchungen über den Einfluss der Luftfeuchtigkeit wurden die Proben nach 24stündiger Lagerung bei 0, 50 und 80 % Feuchtigkeit in die auf 20° C gebrachte Einrichtung eingesetzt und im Verlauf weniger Minuten gemessen. Fig. 5 zeigt die derart gewonnenen Ergebnisse.

Als Vergleich werden noch einige Messungen nach dem Verfahren der DIN E 46 453 ausgeführt, wobei die Verhältnisse, die in Wicklungen vorkommen, nachgeahmt sind, indem zwei aufeinanderliegende Drahtlagen gegeneinander ge-





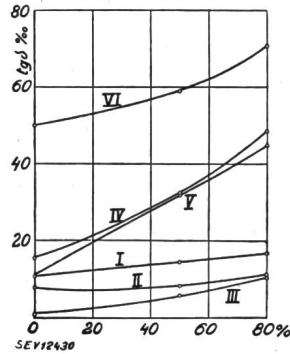


Fig. 5.
Feuchtigkeitsempfindlichkeit verschiedener Lackdrähte
I Oellack.
II...VI ölfreie Kunstharzlacke.

leicht mit verdünntem Hydrokollag auf eine Länge von 100 mm benetzen. Die Graphitschicht trocknet an der Luft sehr schnell und erweist sich als hinreichend feuchtigkeitsdurchlässig, so dass sie auf die Genauigkeit der Messungen keinen Einfluss hat. messen werden. Die Werte sind wegen der eingeschlossenen Luft merklich niedriger. Das beschriebene neue Verfahren ist für laufende Werkstoffprüfungen geeigneter, da es auf einfachem Weg und mit geringer Materialmenge reproduzierbare Prüfung gestattet.

R. H.

## Extrait des rapports de gestion des centrales suisses d'électricité

(Ces aperçus sont publiés en groupes de quatre au fur et à mesure de la parution des rapports de gestion et ne sont pas destinés à des comparaisons.)

On peut s'abonner à des tirages à part de cette page.

On peut s'abonner à des urages à part de cette page.								
_			des Kt.	Elektrizitätswerk des Kt. Thurgau, Arbon		Elektrizitätsversor- gung der Stadt Olten		tätswerk Stadt hurn
	1943/44	1942/43	1943	1942	1943	1942	1943	1942
1. Production d'énergie . kWh 2. Achat d'énergie kWh 3. Energie distribuée kWh 4. Par rapp. à l'ex. préc %	210 379 049	15 785 050 187 001 398 202 786 448 + 10,5			28 057 000 26 089 000 + 10,64			
5. Dont énergie à prix de déchet kWh	20 832 180	19 200 000	1 629 740	1 810 600	1 364 000	1 212 000	0	0
11. Charge maximum kW 12. Puissance installée totale kW	50 800 322 000	307 000	182 492	169 459	42 360	40 330	20 138	2 719 18 633
13. Lampes	677 000 26 000 19 700	25 300	28 200	27 750	5 950	96 600 5 900 803	3 122	75 326 3 091 186
14. Cuisinières { kW	107 000 12 700	94 000	25 210	21 610	5 700	5 220	2 236	1 340 1 948
15. Chauffe-eau $\begin{cases} kW \\ kW \end{cases}$ 16. Moteurs industriels . $\begin{cases} nombre \\ kW \end{cases}$	14 100 31 600	13 000 29 250	7 230 26 900	5 580 25 600	4 100 7 144	3 950 6 800	2 925 3 838	2 628 3 645
	107 000				8			5 451
21. Nombre d'abonnements 22. Recette moyenne par kWh cts.	27 300 4,445	26 200 4,4	? 4,556	? 4,525	8 141 5,68	8 080 5,64	8 854 8 037	8 657 8 075
Du bilan:  31. Capital social fr. 32. Emprunts à terme » 33. Fortune coopérative » 34. Capital de dotation » 35. Valeur comptable des inst. » 36. Portefeuille et participat. » 37. Fonds de renouvellement »	5 000 000 46 827 10 049 804 ?	132 052		600 000 7 672 840	121 037 88 041	9 713		240 000 585 000 570 000
Du compte profits et pertes:  41. Recettes d'exploitation . fr. 42. Revenu du portefeuille et des participations	10 727 970 713 518 180 799 483 778 408 947 1 025 139 7 279 891 1 423 180 300 000	588 644 212 847 462 223 150 000 384 985 988 162 6 673 790 1 493 150	304 964 54 392 292 952 — 174 612 261 867 3 646 287 636 762 —	369 374 57 706 309 890  178 300 285 615 3 190 497 534 890 	1 991 50 827 104 780 130 789 852 932 150 000	1 898 1 510 49 662 113 915 136 353 784 699 135 000	20 571 40 168 — 68 382 206 812 603 824 383 756 —	1 230 766 16 742 39 011 — 66 873 198 619 547 720 304 028 — 160 000
Investissements et amortissements: 61, Investissements jusqu'à fin								
de l'exercice fr. 62. Amortissements jusqu'à fin	?	?	8 306 057			?	4 820 970	
de l'exercice » 63. Valeur comptable » 64. Soit en % des investisse-	7 46 827			600 000	121 037			240 003
ments	?	?	1,2	7,2	?	?	1,96	5

## Miscellanea

#### In memoriam

J. H. Kuhn †. Mit dem am 4. Januar im hohen Alter von beinahe 79 Jahren verstorbenen alt Direktor J. H. Kuhn, Mitglied des SEV seit 1921, verloren wir eine Persönlichkeit, die der Entwicklung der elektrotechnischen Industrie grosse Dienste geleistet hat. Geboren in Rheineck, Kt. St. Gallen, als Sohn eines Hafnermeisters, erlernte er den Beruf eines Baumeisters und erwarb sich zugleich kaufmännische Kenntnisse. Was ihm an theoretischer Bildung fehlte, suchte er durch Selbststudium zu ergänzen. Seine gewerbliche Laufbahn begann J. H. Kuhn als Baumeister in St. Gallen, nachher übernahm er eine kaufmännische Stelle in Flawil. Der Elektrizität widmete er sein volles Interesse. Er fing an zu zeichnen und zu konstruieren; sein Lebenslauf gestaltete sich in aufsteigender Linie und bedeutende Industrielle interes-



J. H. Kuhn 1866—1945

sierten sich für seine Pläne. Zusammen mit Schindler in Neuhausen erbaute er die ersten Aluminium- und Karbidöfen, und zwar im badischen Rheinfelden. Dann wurde er kaufmännischer Leiter der Hagneck-Werke in Biel. Die bekannte Firma «Motor» in Baden berief ihn in ihren Dienst und übertrug ihm die Direktion der Carbidfabriken Gurtnellen. Er war lange Jahre noch in St. Gallen Mitglied des internationalen Karbidsyndikates. In elektrotechnischen Fragen erwarb er sich mit den Jahren einen bedeutenden Namen.

Mit den Kreisen des SEV und VSE trat er in nähere Berührung, als ihn im Jahre 1910 die Regierung des Kantons St. Gallen als Direktor des eben gegründeten Elektrizitätswerkes des Kantons St. Gallen berief. 1914 übernahm er die Direktion der St.-Gallisch-Appenzellischen Kraftwerke, die er bis 1927 innehatte. Als vorzüglicher, initiativer Organisator und Wirtschafter leistete er diesem Unternehmen wertvolle Dienste. Die Ingangsetzung der kantonalen Elektrizitätsver-

sorgung, die er in Verbindung mit den Verwaltungsbehörden durchzuführen hatte, erforderte grosse Energie und besonderes Geschick. Wenn die SAK heute im Wirtschaftsleben der Kantone St. Gallen und Appenzell A.-Rh. eine hervorragende Stelle einnehmen, so kommt dem Verstorbenen hieran ein wesentliches Mitverdienst zu und die Verwaltung gedenkt dankbar der Leistungen des Verstorbenen. In jener Zeit beschäftigte er sich auch mit weitgehenden Plänen, die teils ausgeführt wurden, teils noch der Verwirklichung harren. Dazu gehören seine Arbeiten für den Bau der Muttensee- und Lanksee-Kraftwerke.

J. H. Kuhn war ein Selfmademan und Autodidakt besonderer Prägung, der es verstand, auch andere für seine Pläne und Projekte zu gewinnen. Seine Erholung fand er im Familienkreise. Der Wald war sein Dom, das rauschende Bächlein seine Freude. Der viel Geduld erfordernde Angelsport bildete ein Gegengewicht zu seinem sprudelnden Wesen. Im Auto, das er fast immer selbst steuerte, bereiste er fast alle Gegenden Europas. 1927 zog er sich vom Geschäftsleben zurück. Zuerst in Zollikon, dann in Kilchberg verbrachte er seinen Lebensabend; das rasch pulsierende Leben am Zürichsee und in der nahen Großstadt waren ihm ein Bedürfnis. Nun hat der geistig so regsame Mann seine Augen für immer geschlossen.

Wir bewahren Herrn Kuhn ein ehrenvolles Andenken.

#### Persönliches und Firmen

Faraday-Medaille. Die Institution of Electrical Engineers verlieh am 1. Februar 1945 die Faraday-Medaille Dr. C. C. Patterson, Chef der Forschungslaboratorien der englischen General Electric Co. Dr. C. C. Patterson ist auch in der Schweiz wohlbekannt und hochgeschätzt, besonders als eine der führenden Persönlichkeiten der Internationalen Beleuchtungskommission.

Elektrizitätswerke des Kantons Zürich. Kollektivprokura wurde erteilt an J. Naef.

Gebrüder Sulzer A.-G., Winterthur. Kollektivprokura, beschränkt auf den Geschäftskreis der Hauptniederlassung, ist erteilt an Dr. A. Buri und an F. Eicher.

Société Genevoise d'instruments de physique, Genève. Procuration collective à deux est conférée à Jacques Dürler.

Bureau de l'Union Internationale des Télécommunications. Franz Schwill trat als Vizedirektor zurück. Als neuen Vizedirektor wählte der Bundesrat Gerald Connop Gross, bisher Chefingenieur-Adjunkt der Federal Communication Commission in Washington.

# Estampilles d'essai et procès-verbaux d'essai de l'ASE

## I° Marque de qualité



Pour interrupteurs, prises de courant, coupe-circuit à fusibles, boîtes de jonction, transformateurs de faible puissance, douilles de lampes, condensateurs.

- --- Pour conducteurs isolés.

Sur la base des épreuves d'admission, subies avec succès, le droit à la marque de qualité de l'ASE a été accordé pour:

## Coupe-circuit

A partir du 15 avril 1945

Appareillage Gardy S. A., Genève.

Marque de fabrique:





Socles de coupe-circuit à broches, unipolaire, pour 500 V 25 A. Exécution: socles en porcelaine, sans sectionneur du neutre. No. 14500, 14510: pour montage derrière panneau fixe No. 14501, 14511: pour montage derrière panneau mobile.

#### Conducteurs isolés

A partir du 15 mars 1945

A.-G. R. & E. Huber, Schweiz. Kabel-, Draht- und Gummiwerke, Pfäffikon.

Fil distinctif de firme: orange, bleu, blanc, torsadé ou impr.

- 1. Fils pour lustrerie Cu-TFg et TFs, 1 à 2 conducteurs, corde flexible 0,75 à 1,5 mm².
- Cordons ronds Cu-TRg et TRs, 2 à 4 conducteurs, corde flexible 0,75 à 2,5 mm².
- 3. Cordons renforcés pour appareils mobiles Cu-TDWn, 2 à 4 conducteurs, corde flexible 1 à 16 mm².

Conducteurs avec isolation en matière thermoplastique. Utilisation: conformément aux prescriptions de guerre, à la place des conducteurs isolés en caoutchouc.

# II. Estampille d'essai pour lampes à incandescence.



Le droit à l'estampille d'essai pour lampes à incandescence a été accordé à la maison suivante, sur la base de l'épreuve d'admission prévue au § 7 des «Conditions techniques pour lampes à incandescence» (publ. No. 150 f).

Lampes-Philips S. A., Zurich.

#### Marque: PHILIPS

Lampes électriques à incandescence destinées à l'éclairage des voies publiques, étalonnées selon le flux lumineux, pour une durée nominale de 2500 heures.

Flux lumineux nominal: 300, 500, 800 Dlm.

Tensions nominales: de 110 à 250 V

Exécution: forme poire, verre clair ou dépoli intérieurement, culot Edison E 27 ou E 40.

## IV. Procès-verbaux d'essai (Voir Bull. ASE 1938, No. 16, p. 449)

#### P. No. 403.

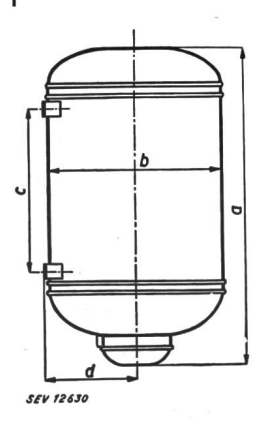
## Objet: Deux chauffe-eau à accumulation

Procès-verbal d'essai ASE: O. No. 19075, du 19 mars 1945. Commettant: Cipag S. A., Vevey.

Inscriptions:

# Cipag S.A. Vevey

	A	ppNo.	1	2
No. Année Contenance Pression d'essai Pression de service kW Phas. Volts	Jahr Inhalt Prüfdruck Betriebsdruck	Ltr. Atm. Atm.	EH 16 1945 50. Fe 12 6 P.T. 0,6 1 220 ~	12 6



Description: Chauffe-eau à accumulation pour montage mural, selon croquis, comprenant un corps de chauffe et un régulateur de température avec dispositif de sûreté. L'appareil No. 2 est muni d'un thermomètre.

App.-No. 1 2
cote a 830 910
cote b 455 535
cote c 450 450
cote d 240 300

Ces chauffe-eau à accumulation sont conformes aux «Conditions techniques pour chauffe-eau électriques à accumulation» (publ. No. 145 f).

#### P. No. 404.

## Objet: Appareil de radiophonie

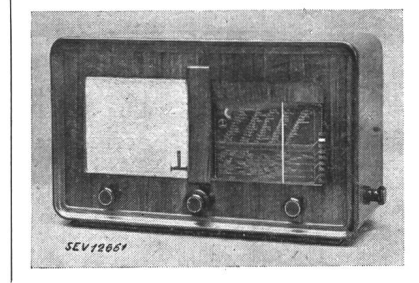
Procès-verbal d'essai ASE: O. No. 19118, du 16 mars 1945. Commettant: E. Paillard & Cie. S. A., Ste-Croix.

Inscriptions:

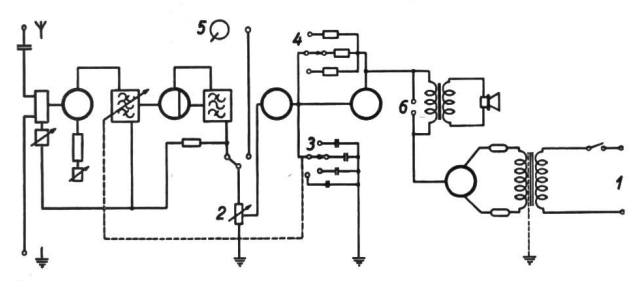


Type 452 Courant alternatif 110-250 Volts 62 VA 50-60  $\sim$  No. 142147 Made in Switzerland ALR + CFR A 067772

Description: Appareil de radiophonie, selon figure et schéma, pour les gammes d'ondes de 16,5...51 m, 190...585 m et 765...2000 m ainsi que pour l'amplification gramophonique. Bandes étalées: 42—30—25—19—16 m.



- 1 réseau
- 2 régulateur de puissance
- 3 régulateur de sélectivité et tonalité
- 4 régulateur de timbre
- 5 pick-up
- 6 haut-parleur



Cet appareil est conforme aux «Prescriptions pour les appareils de télécommunication» (publ. No. 172 f).

## P. No. 405.

#### Objet: Deux casseroles d'aluminium

Procès-verbal d'essai ASE: O. No. 19167, du 23 mars 1945. Commettant: Color-Métal S. A., Zurich.

Inscriptions:

Echantillon No. 1: ALA

Stöckli 18 246

No. 2: Herkules Isola 20 28

Description: Casseroles d'aluminium ayant les dimensions suivantes:

	L C	1. IVO. 1	Ecn. No. 2	
Diamètre intérieur du haut	mm	170	200	
Diamètre extérieur du fond	mm	155	187	
Hauteur totale	mm	112	117	
Epaisseur du fond	mm	9	10	
Epaisseur des parois	mm	3	2	
Poids	kg	0,81	1,13	
Contenance jusqu'à 1 cm du bord	1	2,3	3,0	

Le fond des casseroles, destinées à l'origine à la cuisine au gaz, a été renforcé par apport d'aluminium au pistolet, de façon à ce que ces casseroles puissent être utilisées sur des plaques de cuisson électriques.

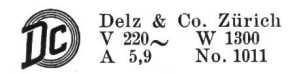
Les fonds rapportés n'ont subi que de légères déformations lors des essais. Ces casseroles peuvent donc être utilisées sur des plaques de cuisson électriques. P. No. 406.

Objet:

Gril

Procès-verbal d'essai ASE: O No. 19052, du 19 mars 1945. Commettant: Delz & Cie, Zurich.

Inscriptions:





Description: Gril à broche tournante, grille et plaque de propreté selon figure. Des éléments chauffants à boudins incandescents sont disposés dans le haut. L'appareil est fermé sur ses faces antérieures et postérieures par des carreaux de verre. L'interrupteur de réglage, la fiche d'appareil et la poignée pour tourner la broche sont disposés sur les côtés.

Ce gril a subi avec succès les essais relatifs à la sécurité.

P. No. 407.

Objet:

Chauffe-eau instantané

Procès-verbal d'essai ASE: O. No. 19105, du 14 mars 1945.

Commettant: Aria S. A., Zurich.

Inscriptions:

Type: 2000 A I A R I A A.-G. kW: 1,2



Description: Chauffe-eau instantané avec réservoir, selon figure. Baguette chauffante en forme de spirale et régulateur de température avec dispositif de sûreté introduits par en haut. Réservoir avec isolation thermique. Bornes pour le raccordement du cordon d'alimentation.

Cet appareil est conforme aux «Conditions techniques chauffe-eau instantanés» (publ. No.133 f).

P. No. 408.

Réchaud Objet:

Procès-verbal d'essai ASE: O. No. 19183, du 26 mars 1945.

Commettant: A. Thurnherr, Bâle.

Inscriptions:

Thuba Elektr. Apparate Basel 15 No. 4675 V 220 W 1000



Description: Réchaud à plaque de fer de 200 mm de diamètre, selon figure. Socle de tôle de fer avec interrupteur de réglage incorporé. Fiche d'appareil à collet protecteur montée sur le socle.

Ce réchaud a subi avec succès les essais relatifs à la sécurité.

P. No. 409.

Réchaud

Procès-verbal d'essai ASE: O. No. 19178, du 5 avril 1945. Commettant: Egloff & Cie. S. A., Rohrdorf.

Inscriptions:



Rohrdorf Volt 220 ∼ Nº R 101

Watt 1000



Description: Réchaud, selon figure, utilisé pour maintenir la température du café contenu dans un dispositif spécial. Le réchaud se compose d'une plaque en fonte de 260 mm de diamètre montée sur un bâti en tôle, d'un interrupteur de cuisinière et d'une fiche d'appareil encastrés. La résistance de chauffe est fixée sur la surface inférieure de la plaque en fonte. La machine à café se compose d'un récipient en porcelaine d'une contenance de 6 l, où se trouve le café, fixé dans un récipient métallique rempli d'eau.

Ce réchaud a subi avec succès les essais relatifs à la sécurité.

## Communications des organes des Associations

Les articles paraissant sous cette rubrique sont, sauf indication contraire, des communiqués officiels des organes de l'ASE et de l'UCS

## Nécrologie

Le 8 janvier 1945 est décédé à Baden, à l'âge de 42 ans, Hermann Gygax, électrotechnicien, membre de l'ASE de-puis 1938. constructeur de la S. A. Brown, Boveri & Cie., Baden. Nous présentons nos sincéres condoléances à la famille en deuil.

Le 16 avril 1945 est décédé à Soleure, à l'âge de 75 ans. Monsieur Charles Brack, ancien directeur, membre de l'ASE depuis 1894 (membre libre), autrefois membre du comité et secrétaire de l'ASE et, pendant de longues années, membre de la commission fédérale des installations électriques. Nous présentons nos sincères condoléances à la famille en deuil.

Le 19 avril 1945 est décédé à Neuchâtel, à l'âge de 72 ans, Monsieur Gustave-Adolphe Borel, Dr. ès sc., ingénieur, membre de l'ASE depuis 1909 (membre libre), administrateur et ancien directeur de la Sté d'exploitation des câbles électriques, Cortaillod, contrôleur des comptes de l'ASE de 1923 à 1933 et membre de la commission des normes 1924 à 1935. Nous présentons nos sincères condoléances à la famille en deuil et à la Sté d'exploitation des câbles électriques, Cortaillod.

## Avis préliminaire Assemblées générales de 1945

Cette année, les assemblées générales de l'ASE et de l'UCS auront lieu

le 1er et le 2 septembre à Zurich.

Elles seront combinées avec la fête du 50e anniversaire de l'UCS.

Nous prions les membres de bien vouloir d'ores et déjà réserver ces journées.

## Comité Technique 4 du CES Turbines hydrauliques

Le CT 4 a tenu sa 13° séance le 19 avril 1945, à Berne, sous la présidence de M. le professeur R. Dubs, président, Il a terminé l'examen du deuxième projet des Règles pour les turbines hydrauliques et commencé celui du quatrième

## Contrôle des prix; décisions de recours

Le Vorort de l'Union suisse du commerce et de l'industrie se propose de recueillir et de classer les décisions de recours en matière de contrôle des prix du département fédéral de l'économie publique et du Conseil fédéral. Ces décisions n'étant publiées nulle part, le Vorort désire se documenter à fond au sujet de cette question. Nous prions donc nos membres de nous faire parvenir, si possible dans le texte intégral, les décisions de recours qui leur sont connues ainsi que les dossiers de recours en suspens afin que nous puissions les transmettre au Vorort. Il va de soi que nous-mêmes ainsi que le Vorort feront usage des documents communiqués avec toute la discrétion nécessaire. Il ne s'agit pas d'obtenir des renseignements détaillés sur la façon de calculer les prix, mais de connaître les décisions de principe afin de pouvoir renseigner le public et les milieux économiques.

## Oscillations de la lumière à la fréquence du réseau et phénomènes de scintillement Communication du Comité Suisse de l'Eclairage

Le 12 avril 1945, le Comité Suisse de l'Eclairage a tenu, sous la présidence de M. le professeur H. König, président, une assemblée de discussion consacrée aux oscillations de la lumière à la fréquence du réseau et aux phénomènes de scintillement. Cette assemblée, à laquelle furent également invités des médecins oculistes, des éclairagistes et d'autres intéressés, avait été préparée par le groupe d'étude du scintillement du CSE, institué à la suite de publications dans le Bulletin de l'ASE, de différents travaux sur les oscillations de la lumière et le scintillement.

M. le professeur König présenta un rapport sur les mesures entreprises par les soins du Bureau fédéral des poids et mesures au sujet des conditions physiques et donna un aperçu général du problème. M. le professeur H. Goldmann, directeur de la clinique ophtalmologique de l'Université de Berne, traita de la physiologie et de la psychologie du scintillement. M. J. Loeb, ingénieur de la S. A. des Lampes Philips, Genève, parla des méthodes de couplage qui permettent de réduire les oscillations de la lumière et M. J. Guanter, ingénieur de la S. A. Osram, Zurich, indiqua les modifica-tions que l'on peut apporter dans ce même but à la construction des lampes luminescentes. M. le professeur R. Spieser, Winterthour, exposa les expériences faites jusqu'ici en pratique, sur la base d'une quinzaine de rapports. Enfin, M. H. Kessler, éclairagiste de la S. A. des Lampes Philips, Zurich, présenta un rapport sur les résultats d'une enquête faite à l'instigation du groupe d'étude du scintillement du

Cette assemblée de discussion, qui permit de très nombreux échanges de vue, se termina par une série d'expériences au Bureau fédéral des poids et mesures, commentées par M. le directeur F. Buchmüller.

Ce sujet fera ultérieurement l'objet d'un rapport détaillé dans le Bulletin de l'ASE.

#### Avis préliminaire

## Deuxième journée de la soudure électrique

L'ASE organise pour le

jeudi, 24 mai 1945, au Palais des Congrès, à Zurich, une assemblée de discussion qui sera consacrée à

## l'influence des machines à souder sur le réseau d'alimentation

Les conférences suivantes sont prévues:

- 1. Exposé du projet de Règles de l'ASE pour les appareils de soudure (en allemand). Conférencier: M. W. Werdenberg, directeur du Service de l'électricité de Winterthour, président du Comité Technique 26 du CES, Soudure électrique. Cette conférence sera suivie d'une discussion.
- 2. Le raccordement des machines à souder par résistance (en allemand). Conférencier: M. H. Altherr, suppléant du chefinstallateur du Service de l'électricité du Canton de Zurich, Zurich.
- 3. Brèves conférences annoncées jusqu'ici: a) La compensation par condensateurs des machines à souder par points et par cordons (en français). Conférencier: M. G. Martin, ingénieur de la S. A. Emile Haefely & Cie, Bâle.
- 4. Discussion.

Nous invitons les membres désireux de donner des brèves conférences, prévues au chiffre 3, de s'annoncer sans retard. Ces conférences ne devront pas dépasser 10 ou 15 minutes, y compris la présentation de clichés.

La conférence No. 2 a été imprimée. On peut l'obtenir au prix de fr. 1.— par exemplaire.

Le programme complet paraîtra dans le prochain numéro du Bulletin. Secrétariat de l'ASE

Seefeldstrasse 301, Zurich 8. Tél. 24 67 46

#### Demandes d'admission comme membre de l'ASE

Les demandes d'admission suivantes sont parvenues au Secrétariat de l'ASE depuis le 3 avril 1945:

a) comme membre collectif:

Gautschi, Electro-Fours, Kreuzlingen. Socomatil S. A., Bahnhofstr. 79, Zürich.

b) comme membre individuel:

Dieterle Walter, Dr., Elektroingenieur ETH, Pfaffenrainstr. 5,

Dieterle Walter, Dr., Elektroingenieur ETH, Pfaffenrainstr. 5, Bottmingen.
Hofer Fritz, Installationschef, Lorystr. 12, Bern.
Kuert W., Chef des VSM-Normalienbüros, Schürbungert 8, Zürich 6.

Lenzlinger Ernst, Architekt, Fellenbergstr. 287, Zürich. Pugliese E., ingénieur-électricien EIL, Avenue de Milan 5, Lausanne.

Schröder Adolf, Betriebselektriker, Ludretikonerstr. 61, Thalwil. Täuber Walter, Elektroingenieur ETH, Sandmattstr. 8,

Solothurn.

### c) comme membre étudiant:

Berlowitz Alfred, stud. el. ing., Waffenplatzstr. 68, Zürich. Ogay Fernand, étudiant, Bussigny s/Morges.

Liste arrêtée au 25 avril 1945.

#### Vorort

## de l'Union Suisse du Commerce et de l'Industrie

Nos membres peuvent prendre connaissance des publications suivantes du Vorort de l'Union Suisse du Commerce et de l'Industrie:

Schweizer Spende an die Kriegsgeschädigten.

Mesures extraordinaires en matière de brevets; prolongation

de la durée de validité des brevets.

Echanges commerciaux avec la France.

Règlement des paiements avec la Slovaquie.

Alters- und Hinterlassenenversicherung. Contrôle des prix. Décisions de recours.

Finanzierung der Alters- und Hinterlassenenversicherung.